

УДК 535.42 : 535.31 : 53.082.5

В. А. Соколов, Ю. В. Чугуй
 (Новосибирск)

ОКОНТУРИВАНИЕ ИЗОБРАЖЕНИЙ ОБЪЕМНОГО СЕРОГО КРАЯ
 В КОГЕРЕНТНОМ СВЕТЕ

На основе модели эквивалентных диафрагм получены в аналитическом виде и исследованы контурные изображения типичного элемента трехмерных тел — протяженного края с произвольным коэффициентом отражения света от внутренней поверхности. Показано, что в случае значительных объемных эффектов (глубина резкости системы меньше протяженности объекта) структура профиля контура существенно зависит от отражающих свойств объекта.

Прогресс в создании систем трехмерного технического зрения для целей размерного контроля в немалой степени определяется наличием конструктивной (физически наглядной) теории формирования оптических изображений и спектров (дифракционных картин) объемных тел. Попытка построения такой теории предпринята нами в работах [1—7], в которых на основе модели эквивалентных диафрагм получены аналитические выражения, в частности, для контурных изображений объемных (протяженных) абсолютно поглощающего [5] и абсолютно отражающего [7] краев.

В настоящей работе представлены результаты исследований особенностей формирования контурного изображения объемного (металлического) края в более общем случае, когда амплитудный коэффициент отражения света (по модулю) от его внутренней поверхности имеет промежуточное значение между 0 и 1. В дальнейшем такой объект будем называть «серым».

Формирование контурных изображений объектов условимся рассматривать в когерентно-оптической системе, схема которой приведена на рис. 1 [8]. Если во входной плоскости P , освещаемой плоской монохроматической волной света с длиной волны λ , помещается плоский (нулевой толщины) объект с амплитудным пропусканием $f(x)$, то объективом O_1 в задней фокальной плоскости P_2 , как известно, формируется фурье-спектр теневого изображения $F(\omega) = \mathcal{F}\{f(x)\}$, где $\mathcal{F}\{\cdot\}$ — оператор преобразования Фурье, $\omega = k\Theta$ — пространственная частота, $k = 2\pi/\lambda$ — волновое число, Θ — угол наблюдения дифракции. В этой же плоскости P_2 расположен фильтр Φ с передаточной

характеристикой $H(\omega)$. В результате в выходной плоскости P_3 объективом O_2 формируется изображение объекта $\hat{f}(x) = \mathcal{F}^{-1}\{F(\omega)H(\omega)\}$. Выделение наиболее информативных областей в изображении $\hat{f}(x)$ достигается при использовании оконтуривающего фильтра с квадратичной амплитудной характеристикой, что соответствует вычислению второй производной от распределения $f(x)$.

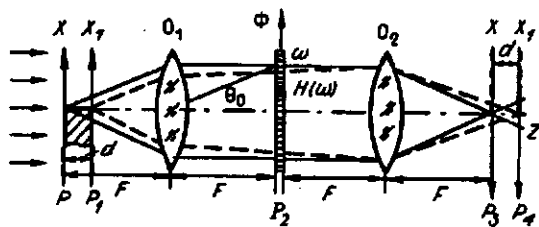


Рис. 1

Близкий к указанному результат имеет место при оконтуривании объектов бинарным фильтром, легко реализуемым на практике [9]. Отметим, что операция оконтуривания является весьма распространенной при использовании для целей размерного контроля когерентно-оптических методов [10].

Поместим далее в систему типичный элемент трехмерных тел — граничные функции для абсолютно поглощающего протяженного края равны [3]:

$$f_n(x) = Y(x) \text{ и } g_n(x_1) = Y(x_1),$$

а для абсолютно отражающего края [6]:

$$f_o(x) = \text{sign}(x) \text{ и } g_o(x_1) = Y(x_1),$$

где индексы «о» и «п» — распределения полей в плоскостях P и P_1 для абсолютно отражающей и абсолютно поглощающей компонент; $Y(x)$ — ступенчатая функция Хевисайда; $\text{sign}(x) = 2Y(x) - 1$ — знаковая функция.

Введем коэффициент отражения света от боковой поверхности серого протяженного края r как отношение амплитуды прошедшей волны к амплитуде падающей (рис. 2, а), причем r лежит в интервале от 0 до 1. Нетрудно показать, что граничные функции указанного объекта являются суперпозицией абсолютно отражающей и абсолютно поглощающей компонент с весовыми коэффициентами r и $1 - r$ соответственно и согласно [5, 7] (с учетом изменения фазы отраженной от металлической поверхности волны на π) представляются следующими выражениями (рис. 2, б):

$$f_c(x) = r \text{sign}(x) + (1 - r)Y(x), \tag{1}$$

$$g_c(x_1) = rY(x_1) + (1 - r)Y(x_1) = Y(x_1).$$

Отсюда следует, что распределения полей в изображениях передней и задней грани серого края (плоскости P_3 и P_4) имеют следующий вид:

$$\begin{aligned} \hat{f}_c(x) &= r\hat{f}_o(x) + (1 - r)\hat{f}_n(x), \\ \hat{g}_c(x_1) &= r\hat{g}_o(x_1) + (1 - r)\hat{g}_n(x_1). \end{aligned} \tag{2}$$

Очевидно, что помещение в частотную плоскость P_2 оконтуривающего фильтра Φ с передаточной функцией

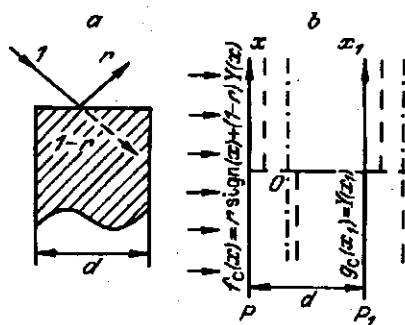


Рис. 2

$$H(\omega) = (\omega/\omega_0)^2 \text{rect}(\omega/2\omega_0)$$

(прямоугольная функция $\text{rect}(x) = Y(x + 0,5) - Y(x - 0,5)$; $2\omega_0 = 2k\Theta_0$ — ширина полосы пропускания частот; $2\Theta_0$ — угловой размер апертуры фильтра, рис. 1) эквивалентно свертке входного распределения $f(x)$ с импульсным откликом дифракционно ограниченной оптической системы $h_0(x) = \sin(\omega_0 x)/\pi x$ и последующему вычислению второй

производной от полученного распределения.

Основываясь на вышеизложенном, рассмотрим сначала контурное изображение *передней грани* абсолютно поглощающего протяженного края. Как показано в приложении, оно имеет вид:

$$\begin{aligned} \hat{f}_n(x) = (j/2\pi\omega_0^2x^2) \{ & [\tilde{Y}(-x + d\Theta_0) - \tilde{Y}(-x - d\Theta_0)] [1 + jkx^2/d] \times \\ & \times [\tilde{Y}(x + d\Theta_0) - \tilde{Y}(x - d\Theta_0)] \exp(-jkx^2/2d) \}, \end{aligned} \quad (3)$$

где $\tilde{Y}(x)$ — френелевский образ ступенчатой функции Хевисайда [8]:

$$\tilde{Y}(x) = (\exp(-j\pi/4)/\sqrt{\lambda d}) \int_{-\infty}^{\infty} Y(t) \exp(jk(x-t)^2/2d) dt.$$

Особенности распределения света в плоскости изображения P_3 в этом случае подробно рассмотрены в [5]. Используя данный результат и полученное в [7] выражение для контура передней грани абсолютно отражающего протяженного края $\hat{f}_o(x)$, можно получить следующее выражение для контурного изображения передней грани серого края:

$$\begin{aligned} \hat{f}_c(x) = r\hat{f}_o(x) + (1-r)\hat{f}_n(x) = & [(1+r)/2] (j/\pi\omega_0^2x^2) \times \\ \times \{ & [\tilde{Y}(-x + d\Theta_0) - \tilde{Y}(-x - d\Theta_0)] [1 + jkx^2/d] \exp(-jkx^2/2d) - (2x/\sqrt{j\lambda d}) \times \\ & \times \exp(jkd\Theta_0^2/2) \sin(\omega_0x) + \exp(j\omega_0x) \tilde{Y}(d\Theta_0) - \exp(-j\omega_0x) \tilde{Y}(-d\Theta_0) - \\ & - j\omega_0x [\exp(j\omega_0x) \tilde{Y}(d\Theta_0) + \exp(-j\omega_0x) \tilde{Y}(-d\Theta_0)] \} + \\ & + [(1-r) \exp(jkd\Theta_0^2/2) \sin(\omega_0x) / \lambda d] \frac{1}{\omega_0^2} + \\ & + [(kx/2d\sqrt{j\lambda d}) [\tilde{Y}(x + d\Theta_0) - \tilde{Y}(x - d\Theta_0)] \exp(-jkx^2/2d)] \frac{1}{\omega_0^2}. \end{aligned} \quad (4)$$

Проведем анализ распределения интенсивности света $|\hat{f}_c(x)|^2$ в плоскости P_3 в случае слабых и значительных объемных эффектов. Указанные эффекты характеризуются параметром N — числом зон Френеля $\sqrt{\lambda d}$, укладывающихся в наблюдаемой области $D = 2\pi/\omega_0 = \lambda/\Theta_0$, т. е. $N = D/\sqrt{\lambda d}$. Слабым объемным эффектам соответствует $N \gg 1$, а значительным — $N \ll 1$ [5]. В спектральном представлении эти условия соответственно имеют вид:

$$\Theta_0 \ll \Theta_c (N \gg 1) \quad \text{и} \quad \Theta_0 \gg \Theta_c (N \ll 1),$$

где $\Theta_c = \sqrt{\lambda/d}$ — критический угол, при котором наиболее полно проявляются объемные свойства края, причем $N = \Theta_c/\Theta_0$. Другими словами, объемные эффекты малы в том случае, когда глубина резкости, определяемая параметрами оптической системы, превышает толщину объекта d .

Профиль интенсивности контурного изображения передней грани серого протяженного края при различных коэффициентах отражения r (0; 0,3; 0,7 и

1) приведен на рис. 3 для различных N : $N = 2$ (a); $N = 1$ (b); $N = 0,5$ (c); $N = 0,1$ (d). Видно, что в случае незначительных объемных эффектов изображение во многом напоминает контур плоского края. Однако при этом ко-

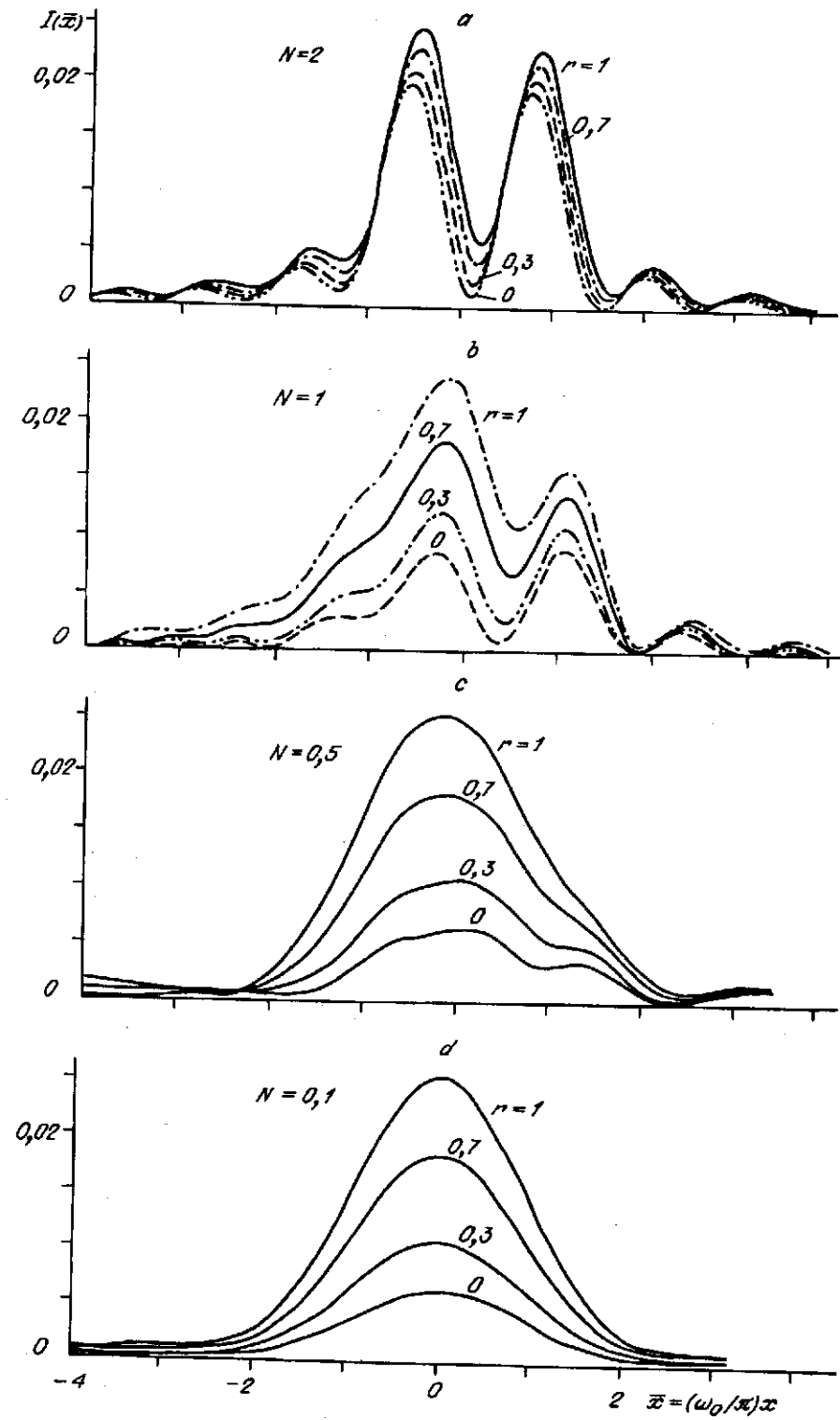


Рис. 3

ордината основного минимума не совпадает с геометрическим положением границы объекта. Анализируя распределение (4) вблизи точки $x = 0$, можно показать, что смещение минимума контурного изображения передней грани серого протяженного края определяется соотношением

$$X_{\min} = \frac{\sqrt{\lambda d}}{2\sqrt{2}\pi} \frac{1+r}{1 - (1-r)\frac{3\pi}{10N^2}} \quad (5)$$

Как и следовало ожидать, при подстановке $r = 0$ и 1 результаты совпадают с ранее полученными для поглощающего и отражающего краев [5, 7]. Видно, что чем больше N , тем в меньшей степени зависимость $X_{\min}(r)$ для передней грани отличается от линейной (рис. 4, а). Так, например, при $N = 3$ и $r = 0,5$ истинное положение X_{\min} будет отличаться от линейно аппроксимированного не более чем на 6%. С целью подтверждения полученной зависимости проводился вычислительный эксперимент. Вычислению подлежали распределения полей в оконтуренных изображениях передней грани серого края в зависимости от N . Поиск минимума интенсивности распределения полей осуществлялся с использованием метода Ньютона [11] для производной соответствующего распределения. Такой подход позволил выявить зависимости X_{\min} от коэффициента отражения при различных N : $N = 2$ и 4 . На рис. 4, б приведены графики, соответствующие линейной аппроксимации $X_{\min}(r) = [\sqrt{\lambda d}(1+r)]/2\sqrt{2}\pi$ (кривая 1), численному эксперименту (кривая 2) и зависимости $X_{\min}(r)$, рассчитанной согласно выражению (5) (кривая 3). Наблюдается удовлетворительное согласие вычислительного эксперимента с полученной зависимостью, и, например, при $N = 4$ их отличие не превышает 0,3%.

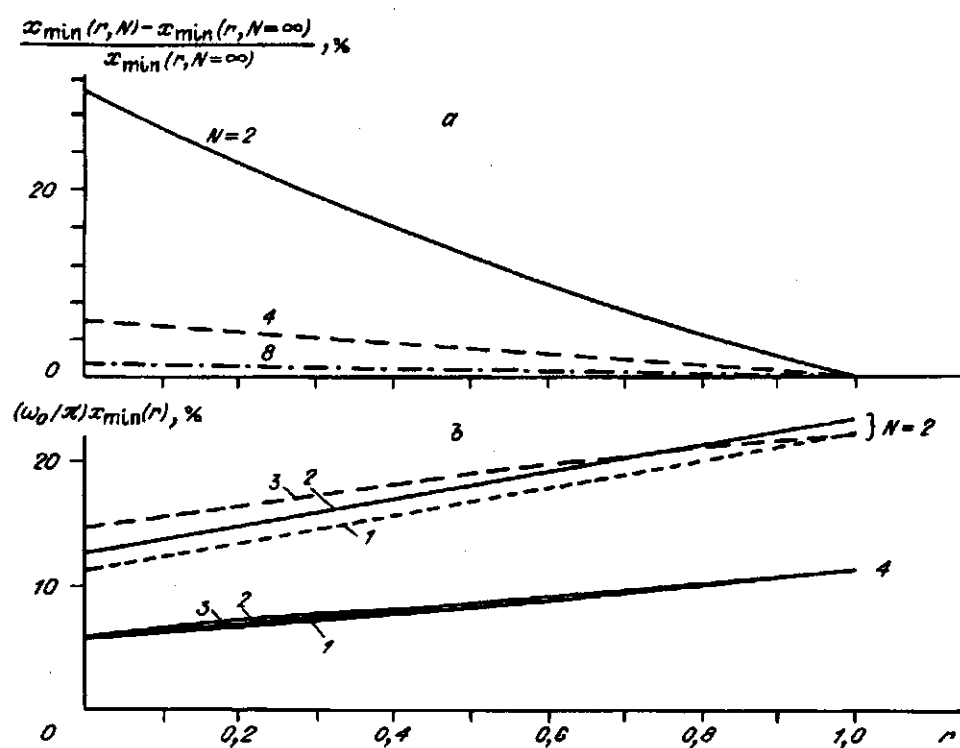


Рис. 4

Анализ выражения (4) показывает, что в случае значительных объемных эффектов $N \ll 1$ контурное изображение передней грани серого края описывается приближенным соотношением

$$\hat{f}_c''(x) = (1+r)\exp(j\omega_0 x/2) [\exp(j\omega_0 x/2)/2\omega_0 x - \sin(\omega_0 x/2)/\omega_0^2 x^2] / \pi \quad (6)$$

и представляет одинарный максимум, амплитуда которого зависит от r . Структура контура при этом остается неизменной. Указанный феномен объясняется действием задней грани в качестве фильтра, удаляющего отрицательные частоты в спектре. В результате неполной компенсации волн в точке $x = 0$ образуется максимум, амплитуда которого зависит от интенсивности дельта-источника на краю передней грани [7].

Рассмотрим далее особенности формирования контурного изображения задней грани серого протяженного края. Исследование указанного выражения в общем случае представляется затруднительным. Поэтому рассмотрим поведение полей в предельных случаях: $N \gg 1$ и $N \ll 1$. Обратимся сначала к ситуации, когда объемные эффекты незначительны. Используя результаты работ [5, 7], нетрудно показать, что оконтуренное изображение задней грани серого объемного края описывается следующим выражением:

$$\hat{g}_c''(x_1) = \left[\frac{\sin(\omega_0 x_1)}{\pi x_1 \omega_0^2} \right]' - (1+r)\sqrt{j\lambda d}/2\pi [\sin(\omega_0 x_1)/\pi x_1 \omega_0^2]'' - r(\lambda d/4\pi) [\sin(\omega_0 x_1)/\pi x_1 \omega_0^2]^{(3)}. \quad (7)$$

Распределение интенсивности $I(x_1) = |\hat{g}_c''(x_1)|^2$ в этом случае является суперпозицией производных разного порядка от функции $\sin(\omega_0 x_1)/\pi \omega_0^2 x_1$ и незначительно отличается от (4). Оно имеет вид двойного максимума, разделенного основным минимумом (рис. 5). Как показывают расчеты, координата его определяется выражением

$$X_{\min} = [\sqrt{\lambda d}(1+r)] / [2\sqrt{2}\pi(1+(1+r)(3\pi/10N^2))]. \quad (8)$$

Аналогично (5) зависимость $X_{\min}(r)$ для задней грани близка к линейной. В случае же значительных объемных эффектов ($N \ll 1$) контурное изображение задней грани серого протяженного края определяется соотношением

$$\hat{g}_c''(x_1) = (1+r) [\sin(\omega_0 x_1)/\pi x_1 \omega_0^2] \sqrt{j\lambda d} + [(1-r)/2] [\sin(\omega_0 x_1)/\pi x_1 \omega_0^2]'. \quad (9)$$

Нетрудно показать, что вид распределения интенсивности в этом случае существенным образом зависит от r , претерпевая изменение от двойного (при $r = 0$) до одинарного (при $r = 1$) максимума. В качестве примера на рис. 6 приведены в одном масштабе распределения интенсивностей оконтуренных

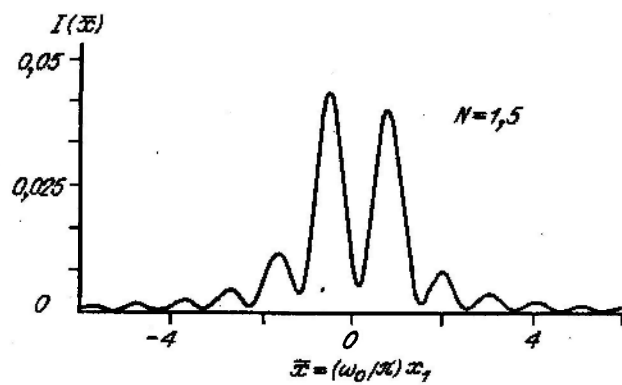


Рис. 5

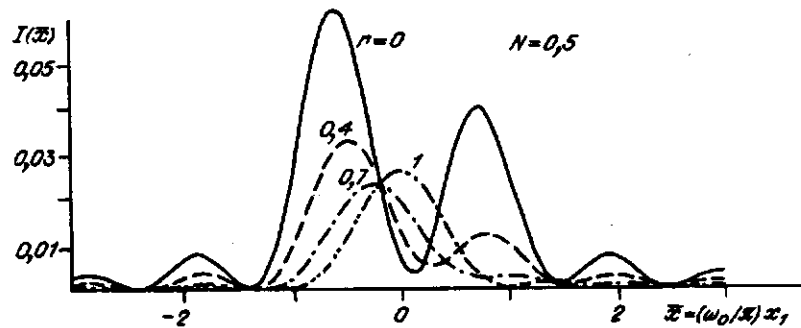


Рис. 6

изображений задней грани серого протяженного края при различных коэффициентах отражения r : 0; 0,4; 0,7 и 1. Характерно, что в этом случае контур объемного края имеет нерегулярную структуру и представляется затруднительным определение координаты его границы. Обращаясь к модели эквивалентных диафрагм, несложно понять причину такого поведения контура. При оконтуривании объемного края наличие вторичной дифракции на задней грани приводит к образованию двойного максимума. В случае же абсолютно отражающей боковой грани дельта-источник, соответствующий вторичной дифракции, в плоскости P_1 отсутствует и задняя грань выступает в качестве режекторного фильтра, удаляющего отрицательные частоты в спектре, что в результате и приводит к образованию одинарного максимума.

Таким образом, основываясь на результатах работы, можно заключить, что при слабых объемных эффектах поведение контурного изображения серого протяженного края подчиняется тем же закономерностям, что и в случаях абсолютно отражающих и абсолютно поглощающих объектов. При значительных объемных эффектах отражающие свойства внутренней грани оказывают существенные влияния на структуру контурного изображения протяженного края, которая из двойного вида превращается в одинарный при переходе от абсолютно поглощающих объектов к абсолютно отражающим.

ПРИЛОЖЕНИЕ

Найдем аналитическое выражение для распределения поля в оконтуренном изображении передней грани абсолютно поглощающего объемного края. Как показано в [5], изображение передней грани абсолютно поглощающего протяженного края в случае отсутствия оконтуривающего фильтра имеет вид

$$\hat{f}_n(x) = 0,5Y(x) + j [Y(x) \otimes \exp(-jkx^2/2d)/2\pi x] + 0,5\bar{Y}^*(x), \quad (10)$$

где $*$ обозначает комплексное сопряжение, а символ \otimes — операцию свертки. Здесь первый и второй члены соответствуют сфокусированному и размытому изображениям передней грани, а третий описывает вторичную дифракцию волн на задней грани. Продифференцируем выражение (10) по координате x . Исходя из определения $\bar{Y}(x)$, приходим к следующему выражению:

$$\hat{f}'_n(x) = 0,5\delta(x) + (j/2\pi x)\exp(-jkx^2/2d) + \exp(j\pi/4)\exp(-jkx^2/2d)/2\sqrt{\lambda d}, \quad (11)$$

где $\delta(x)$ — обобщенная функция Дирака.

Найдем результат свертки выражения (11) с импульсным откликом дифракционно ограниченной оптической системы $h_0(x)$, т. е. вычислим функцию

$$\hat{f}'_n(x) = 0,5[\delta(x) + (j/\pi x)\exp(-jkx^2/2d)] \otimes \sin(\omega_0 x)/\pi x + (\exp(j\pi/4)/2\sqrt{\lambda d})\exp(-jkx^2/2d) \otimes \sin(\omega_0 x)/\pi x. \quad (12)$$

Для вычисления первого слагаемого обратимся к результатам работы [7], в которой показано, что поле $\hat{f}_0(x)$ для случая абсолютно отражающего края имеет вид:

$$\begin{aligned}\hat{f}_0(x) &= \{\delta(x) + (j/\pi x) [\exp(-jkx^2/2d)]\} \otimes \sin(\omega_0 x)/\pi x = \\ &= (j/\pi x) \{ [\tilde{Y}(-x + d\Theta_0) - \tilde{Y}(-x - d\Theta_0)] \exp(-jkx^2/2d) + \\ &\quad + \exp(-j\omega_0 x) \tilde{Y}(-d\Theta_0) - \exp(j\omega_0 x) \tilde{Y}(d\Theta_0) \}.\end{aligned}\quad (13)$$

Для вычисления второго слагаемого в (12) используем основное свойство Фурье-преобразования [8]:

$$\begin{aligned}\exp(-jkx^2/2d) \otimes \sin(\omega_0 x)/\pi x &= \int_{-\infty}^{\infty} \exp(-jk(x-t)^2/2d) \sin(\omega_0 t)/\pi t dt = \\ &= (\sqrt{j\lambda d}/2\pi) \int_{-\infty}^{\infty} \exp(jkd\Theta^2) \text{rect}(\omega/2\omega_0) \exp(j\omega x) d\omega = \\ &= [\tilde{Y}(x + d\Theta_0) - \tilde{Y}(x - d\Theta_0)] \exp(-jkx^2/2d).\end{aligned}\quad (14)$$

В результате первая производная светового поля в изображении передней грани абсолютно поглощающего объемного края в дифракционно ограниченной оптической системе с учетом (13) будет иметь вид:

$$\begin{aligned}\hat{f}'_0(x) &= (j/2\pi x) \{ [\tilde{Y}(-x + d\Theta_0) - \tilde{Y}(-x - d\Theta_0)] \exp(-jkx^2/2d) + \\ &\quad + \exp(-j\omega_0 x) \tilde{Y}(-d\Theta_0) - \exp(j\omega_0 x) \tilde{Y}(d\Theta_0) \} + \\ &\quad + (\exp(j\pi/4)/2\sqrt{j\lambda d}) [\tilde{Y}(x + d\Theta_0) - \tilde{Y}(x - d\Theta_0)] \exp(-jkx^2/2d).\end{aligned}\quad (15)$$

Дифференцируя (15) по координате x , получим следующее выражение для поля в контурном изображении передней грани:

$$\begin{aligned}\hat{f}''_0(x) &= (j/2\pi\omega_0^2 x^2) \{ [\tilde{Y}(-x + d\Theta_0) - \tilde{Y}(-x - d\Theta_0)] (1 + jkx^2/d) \times \\ &\quad \times \exp(-jkx^2/2d) - (2x/\sqrt{j\lambda d}) \exp(jkd\Theta_0^2/2) \sin(\omega_0 x) + \exp(j\omega_0 x) \tilde{Y}(d\Theta_0) - \\ &\quad - \exp(-j\omega_0 x) \tilde{Y}(-d\Theta_0) - j\omega_0 x [\exp(j\omega_0 x) \tilde{Y}(d\Theta_0) + \exp(-j\omega_0 x) \tilde{Y}(-d\Theta_0)] \} + \\ &\quad + \frac{1}{\omega_0^2} \{ \exp(jkd\Theta_0^2/2) \sin(\omega_0 x)/\lambda d + (kx/2d\sqrt{j\lambda d}) \times \\ &\quad \times [\tilde{Y}(x + d\Theta_0) - \tilde{Y}(x - d\Theta_0)] \exp(-jkx^2/2d) \}.\end{aligned}\quad (16)$$

Данное выражение является исходным при определении поля в контурном изображении передней грани серого протяженного края.

Авторы считают своим приятным долгом поблагодарить Б. Е. Кривенкова за полезные замечания, высказанные при обсуждении работы.

СПИСОК ЛИТЕРАТУРЫ

1. Коронкевич В. П., Кривенков Б. Е., Михляев С. В., Чугуй Ю. В. Оптико-геометрический метод расчета дифракции Фраунгофера на объемных телах // Автометрия. — 1980. — № 2.
2. Chuguy Yu. V., Krivenkov B. E., Koronkevitch V. P., Mikhlyajev S. V. Quasi-geometrical method for Fraunhofer diffraction calculation for three-dimensional bodies // JOSA. — 1981. — 71, N 4.
3. Кривенков Б. Е., Чугуй Ю. В. Дифракция Фраунгофера на объемных телах постоянной толщины // Автометрия. — 1987. — № 3.

4. Chuguy Yu. V., Krivenkov B. E. Fraunhofer diffraction by volumetric bodies of constant thickness // JOSA.—1989.—6, N 5.
5. Чугуй Ю. В. Особенности формирования и оконтуривания изображений объемных тел в когерентном свете // Автометрия.—1991.—№ 4.
6. Кривенков Б. Е., Чугуй Ю. В. Дифракция Фраунгофера на отражающих объемных телах постоянной толщины // Там же.
7. Соколов В. А., Чугуй Ю. В. Оконтуривание изображения абсолютно отражающего протяженного края // Автометрия.—1992.—№ 6.
8. Сороко Л. М. Основы голографии и когерентной оптики.—М.: Наука, 1971.
9. Chuguy Yu. V., Krivenkov B. E. Investigation of two-dimensional binary edge contouring of opaque objects // Opt. Acta.—1981.—28, N 2.
10. Вертопрахов В. В., Михляев С. В., Чугуй Ю. В., Юношев В. П. Оптико-цифровая система промышленного контроля // Автометрия.—1983.—№ 4.
11. Хемминг Р. В. Численные методы.—М.: Наука, 1968.

Поступила в редакцию 5 апреля 1993 г.

Реклама продукции в нашем журнале — залог Вашего успеха!